

توسعه مدل دبی سنج الکترومغناطیسی با بهره گیری از الگوی ترکیبی مبتنی بر نتایج شبیه سازی عددی و روش تخمین داده ها

محسن یوسفی^۱
کارشناسی ارشد

دبی سنج های الکترومغناطیسی دستگاه هایی با دقت بالا هستند که می توانند برای اندازه گیری جریان سیال در سیستم های مهندسی از جمله شبکه های آب رسانی شهری بکار روند. در این پژوهش از مدل سازی دبی سنج الکترومغناطیسی با بهره گیری از الگوی ترکیبی مبتنی بر داده های شبیه سازی عددی و روش های برازش داده برای لوله ای به قطر ۱۰۰ میلی متر و طول ۸۰۰ میلی متر در حالت جریان آشفته استفاده شده است. مدل عددی از شبیه سازی سه بعدی با ایجاد میدان مغناطیسی در مرکز هندسه و اندازه گیری دبی سیال با استفاده از قانون فارادی و معادلات ماکسول بهره گرفته است. در واقع فیزیک مسئله به این گونه است که برای اندازه گیری دبی سیال یک میدان مغناطیسی در مرکز هندسه که محل قرارگیری القاء کننده های الکترومغناطیسی است ایجاد شد. با عبور سیال که حاوی هدایت الکتریکی است، شدت القای الکترومغناطیسی در آن مقطع به دست آمد و با استفاده از این داده ها مقدار سرعت و دبی جریان محاسبه شد. بدین منظور شبیه سازی جریان تحت اثر شدت الکترومغناطیسی به ازای مقادیر ۰/۰۱، ۰/۰۳ و ۰/۰۵ (تسلا) انجام شده تا مناسب ترین شدت به دست آید. نتایج حاصل شده نشان می دهند تا شدت ۰/۰۳، میدان مغناطیسی در ساختار جریان تاثیر چندانی ندارد. به منظور توسعه مدل جایگزین دبی سنج الکترومغناطیسی از روش تخمین سرعت متوسط ورودی مبتنی بر اطلاعات داده های شبیه سازی عددی بهره گرفته شده است. ابتدا برای تعدادی فشار مشخص (اختلاف فشار) شدت میدان در موقعیت حسگرها به دست آمد، سپس با استفاده از این مقادیر سرعت متوسط ورودی با استفاده از نرم افزار به دست آمده است. به روش داده کاوی شدت مغناطیسی جدید و متفاوت از مقادیر بکار رفته حاصل شد. به منظور اطمینان از صحت نتایج، داده های حاصل با مقادیر محاسبه شده از نرم افزار، مقایسه شده اند.

محمد کاظم مویدی^۲
استادیار

واژه های راهنما: دبی سنج الکترومغناطیسی، دینامیک سیالات محاسباتی، شدت القای مغناطیسی، جریان آشفته

^۱ کارشناسی ارشد، آزمایشگاه پژوهشی توربولانس، دینامیک سیالات محاسباتی و احتراق، گروه مهندسی مکانیک، دانشگاه قم، قم، ایران
mohsenyousefi20@yahoo.com

^۲ نویسنده مسئول، استادیار، آزمایشگاه پژوهشی توربولانس، دینامیک سیالات محاسباتی و احتراق، گروه مهندسی مکانیک، دانشگاه قم، قم، ایران
moayyedi@qom.ac.ir

۱- مقدمه

در صنعت آب، اندازه‌گیری جریان سیال بسیار مهم بوده و به همین جهت از روش‌های مختلفی جهت اندازه‌گیری استفاده می‌شود، از جمله می‌توان به روش توربینی، روش اولتراسونیک، روش اریفیس پلنت، روش روتامتر، روش کوریولیس و روش الکترومغناطیسی اشاره کرد. اما یکی از بهترین روش‌ها، استفاده از دبی سنج‌های الکترومغناطیسی است. جریان‌سنج‌های الکترومغناطیسی به کمک اندازه‌گیری ولتاژ القاشده در اثر عبور سیال از مقطع لوله می‌توانند مقدار جریان آب را با دقت قابل‌قبولی اندازه‌گیری کنند. القای الکترومغناطیسی به‌طور مستقل توسط مایکل فارادی در سال ۱۸۳۱ و جوزف هنری در سال ۱۸۳۲ میلادی کشف شد. فارادی اولین کسی بود که نتایج آزمایش‌های خود را منتشر کرد. اولین نمایش آزمایشی القای الکترومغناطیسی توسط فارادی در ۲۹ آگوست ۱۸۳۱ به نمایش گذاشته شد، وی دو سیم را در دو طرف مخالف حلقه آهن پیچید (آرایش شبیه ترانسفورماتور توروئید مدرن)، وی بر همین اساس ارزیابی خود از خصوصیات مغناطیس الکترومغناطیسی را کشف شده دید. مایکل فارادی القای الکترومغناطیسی را با استفاده از مفهومی که خطوط نیرو نامید توضیح داد، این القا به دلیل تغییر مغناطیسی بود که هنگام اتصال و قطع باتری انجام می‌شد اتفاق می‌افتاد. باین‌حال دانشمندان در آن زمان ایده‌های نظری وی را به‌طور گسترده رد کردند، عمدتاً به این دلیل که این نظریه‌ها از نظر ریاضی فرمول‌بندی نشده بودند. با این تفاسیر محققان استثنای وجود داشت به نام جیمز کلارک ماکسول، که در سال‌های ۱۸۶۱ تا ۱۸۶۲ از عقاید فارادی به‌عنوان مبنای نظریه الکترومغناطیسی خود استفاده کرد. در مقالات ماکسول جنبه متغیر زمان القای الکترومغناطیسی به‌عنوان یک معادله دیفرانسیل بیان شده است که الیور هیویساید از آن به‌عنوان قانون فارادی یاد می‌کند. در سال ۱۹۶۲ فرضیات شرکلیف تحت تابعی از شعاع و شدت مغناطیسی بود اما در سال ۱۹۷۲ حل معادله جریان‌سنج الکترومغناطیسی، با القای مغناطیسی غیریکنواخت و پروفیل‌های سرعت و رسانایی متقارن محور، در قالب یک سری قدرت همگرا توسط فیزیکدان باکر آورده شده که در آن تغییرات پتانسیل الکتریکی نیز لحاظ شده است [۱]. محاسبه مشخصات جریان‌سنج الکترومغناطیسی از داده‌های میدان مغناطیسی به‌صورت آزمایشگاهی توسط بویر و همکارانش صورت گرفته شد و نتایج نشان می‌دهد عملکرد هر جریان‌سنج الکترومغناطیسی کاملاً با هندسه، نوع و شکل الکترودها و شکل میدان مغناطیسی آن تعیین می‌شود. توصیفی از روشی ارائه شده که ممکن است برای پیش‌بینی عملکرد یک جریان‌سنج الکترومغناطیسی تحت محدودیت‌های خاص استفاده شود. نتایج حاصل از مقایسه بین حساسیت‌های به‌دست‌آمده با استفاده از روش آزمایشگاهی و با مشاهده مستقیم نشان می‌دهد که این روش عملی است. این می‌تواند هم به‌عنوان وسیله‌ای برای درجه‌بندی دقیق یک جریان‌سنج الکترومغناطیسی مشخص و هم به‌عنوان کمکی برای طراحی جریان‌سنج الکترومغناطیسی استفاده شود [۲]. جریان‌سنج الکترومغناطیسی معمولاً شناخته شده‌اند که نسبت به اثرات مشخصات سرعت کاملاً حساس نیستند، لونت و هالتون تأثیر پروفیل سرعت در الکترومغناطیس و اندازه‌گیری جریان را مورد بررسی قرار دادند باین‌حال، نتایج آزمایش نشان می‌دهد که حتی بهترین کنتورها نیز به اختلال‌ها جریان حساس هستند. در هر صورت مدل‌سازی دقیق ریاضی برای جریان و کنتورها مورد نیاز است. میدان مغناطیسی جریان‌سنج الکترومغناطیسی اندازه‌گیری شده و مدل کنتور به روش ریاضی محاسبه شده است. مقادیر اندازه‌گیری شده و محاسبه شده از مشخصات سرعت جریان آب برای تخمین خطا استفاده شده است.

بنابراین روش‌های عددی به‌عنوان راه‌حلی برای این مسئله پیشنهاد می‌شود. نتایج نشان می‌دهد که اگر فاصله بین اتصالات و کنتور بیش از ۵ برابر قطر لوله باشد می‌توان انتظار داشت که خطا کمتر از ۰/۵٪ باشد. خطاهای اندازه‌گیری شده برای چهار جریان‌سنج الکترومغناطیسی مختلف نشان داد که اثر یک اختلال در فاصله‌های مختلف متفاوت است [۳]. لیم و شانگ اثرات نصب یک اتصال زانویی شکل در مسیر جریان‌سنج الکترومغناطیسی^۱ پایین‌دست را مورد بررسی قرار دادند. اتصال زانویی شکل دارای زاویه ۹۰ درجه هست. برای اندازه‌گیری، دبی جریان آرام فرض شده و حل به‌صورت عددی شبیه‌سازی شده است. در ادامه اثرات نصب را با تغییر مکان جریان‌سنج الکترومغناطیسی در فاصله ۲ تا ۲۲ برابر قطر لوله از اتصال زانویی بررسی شد. همچنین زاویه قرارگیری الکترودها در میدان مغناطیسی در زوایای صفر و ۴۵ و ۹۰ درجه از محور تقارن شبیه‌سازی شد. در این مطالعه مشخص شد که انحراف سیگنال جریان به دلیل اختلال از اتصال زانویی به‌شدت به الگوی خطوط سرعت محوری بستگی دارد. مواردی که برای زاویه ۴۵ درجه الکترودها در نظر گرفته شد در مقایسه با صفر و ۹۰ درجه دقت اندازه‌گیری بهتری داشته و تأثیر انحنای بر فاصله نصب مطلوب به تعداد رینولدز بستگی دارد [۴]. بوریس هورنر از یک جریان‌سنج الکترومغناطیسی شش الکترودها حساس به مشخصات مناسب برای مصارف صنعتی استفاده کرد. یک جریان‌سنج الکترومغناطیسی مناسب برای نصب بلافاصله پایین‌دست خم‌ها، سوپاپ‌ها، اتصالات سراهی و غیره قرار داده شد. استفاده از شش به‌جای دو الکترودها تغییرات جزئی در قطب سیستم مغناطیسی را منجر شد به‌طوری‌که باعث بهبود دقت اندازه‌گیری و کاهش قابل‌توجه حساسیت جریان‌سنج الکترومغناطیسی به تغییرات جریان بود. باین‌حال از نظر هزینه تولید شش الکترودها با یک جریان‌سنج دو الکترودها قابل‌مقایسه است و از این‌رو برای سیستم‌های با قطر بزرگ مقرون‌به‌صرفه هست [۵]. می‌شالسکی از جریان‌سنج الکترومغناطیسی برای کانال‌های باز استفاده کرد و دو مشکل وجود داشت یکی سطح متغیر آب و دیگری نفوذ آب از اطراف کانال به بیرون از جریان، در این بررسی نشان داده‌شده که باینکه خطای کالیبراسیون وجود دارد اما برای دبی‌های بالا از نظر اقتصادی با صرفه بوده قابل‌استفاده است [۶]. ژایو و همکاران در زمینه بهینه‌سازی میانگین سرعت جریان از چندین الکترودهای القایی استفاده کردند. استفاده از روش اندازه‌گیری چند الکترودها به‌صورت هم‌زمان نه‌تنها می‌توان تعداد داده‌های اندازه‌گیری را به نصف آنچه در معادلات آمده، کاهش داد بلکه نسبت سیگنال به نویز اندازه‌گیری را نیز کاهش داد. الگوریتم داده‌ها همچنین می‌تواند با استفاده از چندین حسگر در موارد دیگر برای تخمین سرعت قابل‌اعتمادتر از دیگر روش‌های اندازه‌گیری باشد. نتایج حاصل از شبیه‌سازی نشان داد که این الگوریتم قوی و مؤثر است [۷]. در زمینه چند الکترودها لوژان سو و همکارانش نیز تحقیقاتی انجام دادند. تعداد الکترودها و اندازه الکترودها دو پارامتر اصلی بررسی‌شده در این پژوهش بود. از روش اندازه‌گیری هم‌زمان برای تجزیه و تحلیل تأثیر هر دو پارامتر در تخمین میانگین سرعت جریان استفاده شد. هر دو پارامتر برای طراحی آرایه الکترودها برای یک القا کاربرد دارند. برای طراحی آرایه الکترودها باید دقت ماشین‌کاری مکانیکی، قابلیت اطمینان عملکرد حسگرها و مواد الکترودها باید در نظر گرفته شود [۸]. تز و همکارانش به مطالعه در زمینه نیروی لورنتس و سرعت سنجی سیال توسط آن پرداختند. آن‌ها یک روش غیر تماس برای اندازه‌گیری سرعت در مایع‌های رسانای الکتریکی را توصیف کردند که مبتنی بر قراردادن مایع در معرض میدان مغناطیسی و اندازه‌گیری نیروی کشش وارد بر

^۱ Electrode magnetized flowmeter (EMF)

خطوط میدان مغناطیسی بود [۹]. کرمی فرد و همکارانش در زمینه طراحی و شبیه‌سازی جریان‌سنج الکترومغناطیسی برای لوله‌ای با سطح مقطع دایروی مطالعه داشتند. در این تحقیق، میدان مغناطیسی با شدت ثابت (سیم پیچ اطراف لوله) خارج از لوله تولید شده که باعث به وجود آمدن ولتاژ القایی، به علت جریان مایع هدایت شده توسط الکترودها در دو طرف انتهایی دیوار لوله شده، می‌شود. در این تحقیق از مدل دوبعدی استفاده شده که می‌توان آن را با روش اختلاف محدود برای محاسبه پتانسیل القایی بین الکترودها حل کرد [۱۰]. بولان و همکارانش در زمینه شبیه‌سازی سه‌بعدی مگنتوهیدرودینامیک جریان‌سنج الکترومغناطیسی برای جریان‌های آرام و آشفته انجام گردید. تعامل بین یک سیال هدایت الکتریکی و یک میدان مغناطیسی خارجی در یک جریان‌سنج الکترومغناطیسی استوانه‌ای ایده‌آل برای آرام و آشفته مورد بررسی قرار گرفت. پتانسیل الکتریکی ایجاد شده در سیال و تفاوت در پتانسیل الکترودهای اندازه‌گیری به‌طور مستقیم با استفاده از اثرات مگنتوهیدرودینامیک در شبیه‌سازی دینامیک سیالات محاسباتی مورد بررسی قرار گرفته شد. اختلاف پتانسیل الکتریکی محاسبه شده در الکترودها با مقادیر تحلیلی برای موارد کوچک هارتمن مطابقت دارد، در حالی که اثر نیروی لورنتس القاشده کوچک است [۱۱]. ژانگ کاو و همکارانش در زمینه بهینه‌سازی کوئل جریان‌سنج الکترومغناطیسی برای بررسی تغییرات سرعت در مقاطع مختلف میدان جریان تحقیق کردند. سیم‌پیچ‌ها در زوایای گوناگون و فواصل مختلف قرار گرفته شد تا تأثیر آن بر توزیع سرعت مشاهده شود. برای مقایسه تأثیر پروفیل‌های مختلف جریان در قسمت سیم‌پیچ‌ها چندین توزیع جریان متفاوت مورد بررسی قرار گرفت. نتایج نشان می‌دهد سیم‌پیچ مطلوب (زینی شکل) نسبت به دیگر سیم‌پیچ‌ها حساسیت کمتری به پروفیل جریان‌های پیچیده‌تر دارد [۱۲]. جریان‌سنج الکترومغناطیسی در مکان‌های مختلف جهت ارزیابی پروفیل‌های سرعت و تجزیه و تحلیل خطا توجه مارتین و همکارانش را جلب کرد. قابلیت اطمینان و دقت یک جریان‌سنج به‌عنوان کارکرد نادرست به شرایط نصب آن بستگی دارد و ممکن است نتایج نهایی را تحریف کند. هدف از این کار تعیین خطاهای به‌دست‌آمده در یک الکترومغناطیسی بود. نتایج نشان می‌دهد که شرایط نصب جریان‌سنج الکترومغناطیسی با توجه به موقعیت آن نسبت به خط لوله اتصالات، در پروفایل سرعت و کیفیت اندازه‌گیری تأثیر زیادی دارد [۱۳]. پاولو کارمن به همراه همکارانش در زمینه مناسب‌ترین مکان برای نصب جریان‌سنج الکترومغناطیسی و آلتراسونیک در شبکه آبرسانی پژوهشی انجام دادند. در شبکه آبرسانی فاصله نصب ناکافی شیرهای کنترل جریان، اختلالات بالادستی ایجاد می‌کند که باعث افزایش خطاهای اندازه‌گیری و کاهش دقت تجهیزات می‌شود. بنابراین، برآورد این خطاها برای ایجاد فاصله صحیح نصب لوازم اندازه‌گیری و اطمینان از قابلیت صحیح کارکرد جریان‌سنج‌ها مهم است. شبیه‌سازی‌های عددی برای شیرهای کشویی (۲۵ و ۵۰ درصد بسته) و شیرهای پروانه‌ای (کاملاً باز و ۳۰ درجه بسته) صورت گرفته شد. آن‌ها نتایج خود را در فواصل مختلف جریان‌سنج‌ها از شیرآلات مورد بررسی قرار دادند [۱۴]. مطالعه بر روی یک جریان‌سنج الکترومغناطیسی جدید بر اساس تحریک موج دوزنقه‌ای سه مقداری توسط لیانگ جی و همکارانش بررسی شد. نتایج آزمایش نشان می‌دهد که نیروی الکتروموتور خروجی توسط جریان‌سنج الکترومغناطیسی بر اساس تحریک موج دوزنقه‌ای سه مقداری به‌طور خطی با سرعت جریان مرتبط است. هنگامی که سرعت افزایش می‌یابد خطای نسبی کاهش می‌شود. این تحقیق همچنین نشان می‌دهد که فرکانس تحریک تأثیر زیادی بر دقت اندازه‌گیری جریان‌سنج الکترومغناطیسی بر اساس تحریک موج دوزنقه‌ای سه مقدار دارد [۱۵].

تحقیقات در زمینه شبیه‌سازی دستگاه‌های اندازه‌گیری جریان به روش الکترومغناطیسی سیال بسیار اندک صورت گرفته و تا حدودی به کلیات یعنی شبیه‌سازی میدان مغناطیسی و بهینه‌سازی ساختار میدان مغناطیسی پرداخته شده است. در این پژوهش، به منظور توسعه مدل جایگزین دبی‌سنج الکترومغناطیسی از یک روش تخمین دبی جریان ورودی مبتنی بر اطلاعات داده‌های شبیه‌سازی عددی بهره‌گرفته شده است. به همین منظور بررسی میزان شدت مغناطیسی وارد شده بر روی اندازه‌گیری جریان حائز اهمیت است. مدل‌سازی دبی‌سنج الکترومغناطیسی با بهره‌گیری از الگوی ترکیبی مبتنی بر داده‌های شبیه‌سازی عددی حاصل از نرم‌افزار انسیس فلونت نسخه ۲۰۱۶ و روش‌های برازش داده به ازای تغییر پارامترهای مهم جریان در این مسئله انجام گرفته است. با استفاده از مدل حاصل می‌توان تغییرات ساختار جریان در اثر تغییرات فشار یا متعلقات شبکه را بررسی و تأثیر آنها بر دقت اندازه‌گیری سرعت متوسط را مطالعه کرد. همچنین درصد خطای اندازه‌گیری سرعت متوسط ورودی با افزایش شدت مغناطیسی را محاسبه کرد. از دیگر ویژگی‌های پژوهش حاضر استفاده از روش‌های داده‌کاوی به منظور توسعه مدل ترکیبی مبتنی بر داده‌های شبیه‌سازی عددی می‌باشد.

۲- معادلات حاکم

در این پژوهش مدل‌سازی دبی‌سنج الکترومغناطیسی با الگوی دینامیک سیالات محاسباتی بر پایه هیدرودینامیک مغناطیسی به منظور اندازه‌گیری میزان دبی عبوری انجام شده است. اساس کار جریان‌سنج‌های الکترومغناطیسی بر اساس قانون فارادی می‌باشد، به این صورت که با ایجاد شار مغناطیسی در محیط داخلی یک مجرا، به طوری که تمام داخل لوله را در برگیرد و در اثر عبور سیال که دارای هدایت الکتریکی است، ولتاژی القا شده که می‌توان آن را از رابطه (۱) به دست آورد [۱۶].

$$U = K \times B \times D \times V \quad (1)$$

که در آن، U ولتاژ القا شده در سیال می‌باشد، K ضریب ثابت، B شدت میدان مغناطیسی، D فاصله الکترودهای دریافت‌کننده ولتاژ القایی و V سرعت سیال می‌باشد. در واقع در جریان‌سنج‌های الکترومغناطیسی محاسبه دقیق سرعت سیال مهم بوده که با داشتن آن، دبی جریان از رابطه زیر به دست می‌آید:

$$Q = A \times V \quad (2)$$

به طوری که A سطح مقطع داخل لوله و Q دبی سیال می‌باشد. نکته حائز اهمیت این است که جهت اندازه‌گیری با این روش می‌بایست ضریب هدایت الکتریکی مایع بیش از ۵ میکرو زیمنس در سانتی‌متر باشد.

۲-۱- معادلات حاکم بر جریان

معادلات ناویراستوکس یک مدل ریاضی مناسب برای تحلیل دینامیک جریان سیال می‌باشد. این معادلات برای یک جریان تراکم‌ناپذیر و آشفته شامل معادله پیوستگی و اندازه حرکت خطی به شرح زیر می‌باشد:

$$\nabla \cdot V = 0$$

$$\frac{\partial V}{\partial t} + V \cdot \nabla V = -\frac{1}{\rho} \nabla p + \nu + \nu_t \nabla^2 V \quad (۳)$$

۲-۲-۱- معادلات جریان تحت تأثیر میدان الکترومغناطیسی

مگنتوهیدرودینامیک مطالعه خواص مغناطیسی و رفتار سیالات هادی میدان الکتریکی است. این یک اتصال بین معادلات ناویر-استوکس برای دینامیک جریان و معادلات ماکسول برای الکترومغناطیس ایجاد می‌کند. میدان مغناطیسی می‌تواند جریان را در یک سیال دارای هادی الکتریکی ایجاد کرده که به نوبه خود باعث ایجاد نیرو در سیال شده و تأثیراتی را در میدان جریان به وجود آورد که اگر شدت آن زیاد باشد باعث تغییر رفتار شدید جریان نیز می‌شود که در ادامه به بررسی آن پرداخته شده است. معادلات حاکم بر یک میدان جریان تحت اثرات الکترومغناطیسی مشابه با معادلات بقای اندازه حرکت و جرم بوده اما در معادله اندازه حرکت اثر میدان مغناطیسی به صورت یک عبارت نیروی اضافی (نیروی لورنتس) ظاهر می‌شود. بر این اساس معادله اندازه حرکت اصلاح شده به صورت زیر خواهد بود [۱۶].

$$\rho \frac{\partial V}{\partial t} + \rho V \cdot \nabla V = J \times B - \nabla p + \mu + \mu_t \nabla^2 V \quad (۴)$$

در معادله فوق، بردار J چگالی جریان الکتریکی بوده که می‌تواند از طریق القای مغناطیسی B بیان شود. نیروی لورنتس $J \times B$ را می‌توان با استفاده از قانون آمپر محاسبه کرد [۱۶].

$$J = \frac{1}{\mu_0} \nabla \times B \quad (۵)$$

$$J \times B = \frac{B \cdot \nabla B}{\mu_0} - \nabla \left(\frac{B^2}{2\mu_0} \right)$$

E شدت میدان الکتریکی بوده و با استفاده از معادلات ماکسول به دست می‌آید [۱۶].

$$E = V \times B \quad (۶)$$

$$\frac{\partial B}{\partial t} = -\nabla \times E \quad (۷)$$

دیورژانس شدت میدان مغناطیسی از معادله زیر به دست می آید [۱۶]

$$\nabla \cdot B = 0 \quad (۸)$$

۲-۲-۲- مدل سازی آشفتگی

در این پژوهش از مدل آشفتگی کی-پسیلون استاندارد که یکی از متداول ترین و کاربردی ترین مدل های دومعادله ای می باشد، استفاده شده است. این مدل از دو معادله انتقالی برای محاسبه تغییرات انرژی جنبشی آشفتگی و نرخ اتلاف انرژی جنبشی آشفتگی بهره می برد. در واقع این مدل در اغلب مسائل دینامیک سیالات از کیفیت و دقت مناسبی برخوردار است. مدل آشفتگی کی-پسیلون در عین ساده بودن تطبیق خوبی با نتایج آزمایشگاهی دارد که منجر به استفاده از آن در این شبیه سازی شده است. معادلات مدل آشفتگی کی-پسیلون استاندارد شامل معادله انتقال برای انرژی جنبشی آشفتگی k مطابق رابطه (۹) بیان می شود:

$$\frac{\partial k}{\partial t} + \nabla \cdot (ku_i) = \frac{\partial}{\partial x_j} \left[\left(\frac{\nu_t}{\partial k} + \nu \right) \frac{\partial k}{\partial x_j} \right] + G_k + G_b + \varepsilon \quad (۹)$$

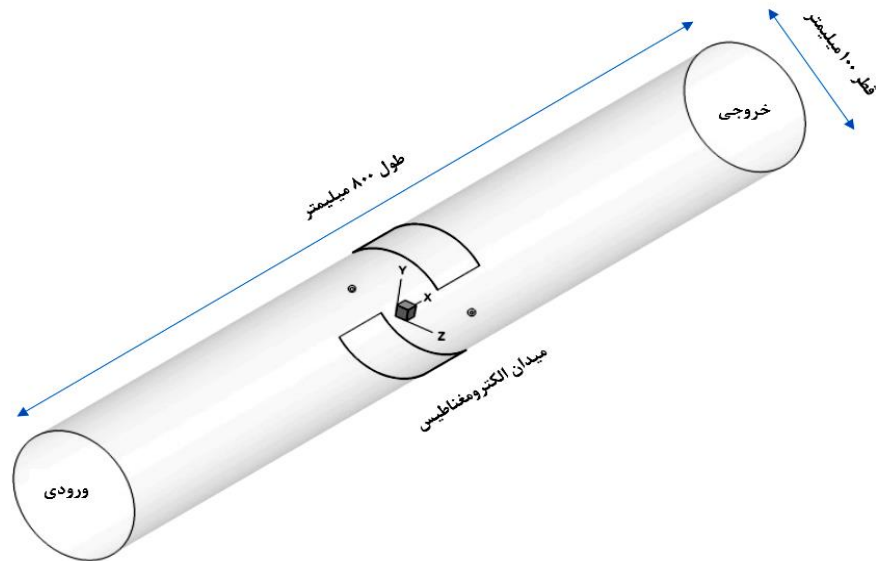
و معادله نرخ اتلاف انرژی جنبشی آشفتگی ε به شرح زیر می باشد:

$$\frac{\partial \varepsilon}{\partial t} + \nabla \cdot (\varepsilon u_i) = \frac{\partial}{\partial x_j} \left[\left(\frac{\nu_t}{\sigma_\varepsilon} + \nu \right) \frac{\partial \varepsilon}{\partial x_j} \right] + C_{1\varepsilon} \frac{\varepsilon}{k} (G_k + C_{3\varepsilon} G_b) - C_{2\varepsilon} \frac{\varepsilon^2}{k} \quad (۱۰)$$

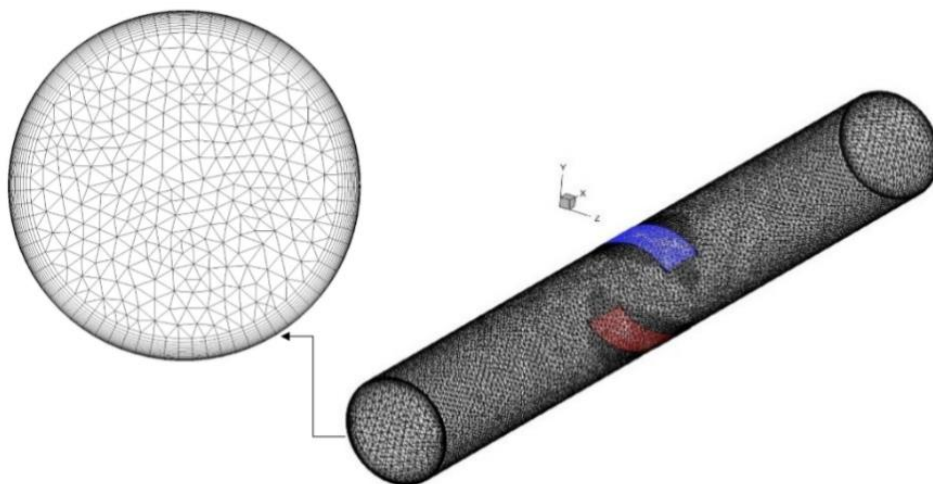
که در آن C_1 و C_2 ضرایب ثابت، ν لزجت سینماتیک و k ثابت ون کارمن است. G_k ترم تولید انرژی ناشی از گرادیان های سرعت متوسط جریان، G_b ترم تولید انرژی ناشی از بویانسی و u_i سرعت متوسط ورودی.

۳- هندسه مدل، شبکه محاسباتی و شرایط مرزی

همان طور که در شکل (۱) مشاهده می شود هندسه مسئله شامل یک لوله به قطر ۱۰۰ میلی متر و طول ۸۰۰ میلی متر به صورت سه بعدی طراحی شد، همچنین در این هندسه از دو مگنت جهت شبیه سازی میدان الکترومغناطیسی بهره گرفته شد. سیال عامل آب با هدایت الکتریکی بالای ۵ میکرو زیمنس در تمام مقطع می باشد. دو الکتروود در فاصله ۵۰ میلی متری از خط تقارن مرکزی مجرا و در راستای محور Z (به صورت متقارن) پیش بینی شده است. به منظور ایجاد دامنه حل، مگنت ها در مرکز هندسه و ورودی سیال به لوله از فضای باز با فشار اتمسفر در نظر گرفته شده است. همچنین جریان سیال تراکم ناپذیر در اثر اختلاف فشار در ورود و خروج هندسه مدنظر می باشد. این مدل شامل سه بخش ورودی، بخش مرکزی (اندازه گیری دبی) و بخش خروجی می باشد. در بخش ورودی فرض بر این است که سیال تمام سطح مقطع لوله را در برمی گیرد.



شکل ۱- هندسه مسئله مورد بررسی



شکل ۲- ساختار شبکه محاسباتی برای مدل هندسی مسئله مورد نظر

شکل (۲) شبکه محاسباتی در حجم کنترل مورد نظر و کیفیت شبکه در مقطعی داخل لوله را نمایش می‌دهد. همان‌طور که مشاهده می‌شود، شبکه در نزدیکی دیواره که تغییرات سرعت زیاد است، به صورت فشرده‌تر و منظم در نظر گرفته شده و مشخصاً بافاصله گرفتن از دیواره شبکه درشت می‌شود. در واقع در نقاطی که تغییرات در میدان جریان کم است مانند محور مرکزی لوله، اندازه شبکه بزرگ در نظر گرفته شده است؛ بنابراین همان‌طور که توضیح داده شد، در نواحی که تغییرات جریان شدید است، شبکه به صورت فشرده‌تر تنظیم شده است. همچنین این نکته نیز حائز اهمیت است که چنین مدل شبکه‌ای می‌تواند به سبب توزیع مناسب المان‌های شبکه حسب ویژگی میدان جریان در ناحیه مورد نظر علاوه بر حفظ دقت، زمان محاسباتی را نیز کاهش دهد.

۴- روش حل عددی

به‌منظور حل معادلات حاکم بر میدان جریان، معادلات آشفتگی و معادلات الکترومغناطیسی از روش عددی استفاده شده است. در این پژوهش از روش سیمپل مبتنی بر الگوی حجم محدود برای حل معادلات بقای جرم و اندازه حرکت در شکل انتگرالی استفاده شده است. معادلات میدان جریان با روش مرتبه دوم بالادست جداسازی شده و برای حل عددی معادلات انرژی جنبشی و نرخ اضمحلال آشفتگی نیز از روش مرتبه اول بالادست استفاده شده است. روش گسسته سازی برای محاسبه ترم‌های گرادیان، روش سلول محور گرین-گوس^۱ بوده و برای ترم فشار در معادله مومنتوم از روش گسسته‌سازی مرتبه دوم بهره گرفته شده است. همچنین برای حل معادلات میدان الکترومغناطیس از روش مرتبه دوم بالادست استفاده شده است.

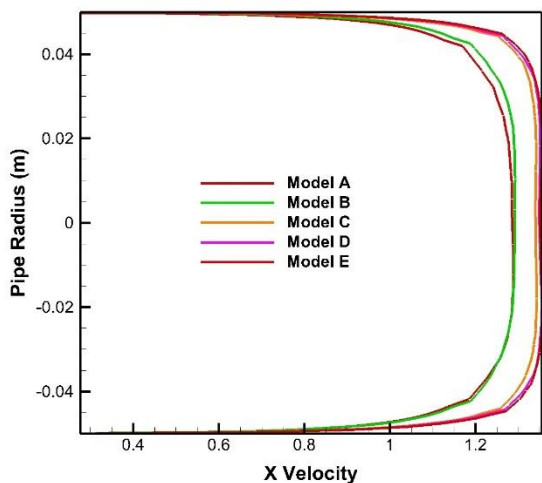
۵- استقلال حل از شبکه

از مهم‌ترین عواملی که بر نتایج حاصل از محاسبات عددی تأثیر می‌گذارد تعداد المان‌های شبکه محاسباتی است. جهت دستیابی به شبکه‌ای که از لحاظ دقت و هزینه محاسباتی بهترین حالت را داشته باشد، نتایج در تعداد المان‌های مختلف با یکدیگر مقایسه شده‌اند. در این پژوهش به‌منظور بررسی استقلال از شبکه در حل عددی، هندسه حل با پنج شبکه‌بندی با اندازه‌های متفاوت در همه زوایا مورد بررسی قرار گرفت. در جدول (۱) تعداد المان‌های مذکور به همراه مدل شبکه‌بندی مشخص شده است. هندسه با قطر ۱۰۰ میلی‌متر، طول ۸۰۰ میلی‌متر و اختلاف فشار ۱۰۰۰ پاسکال مورد مطالعه قرار گرفته است. در شکل (۳) و (۴) تغییرات مؤلفه افقی سرعت و پروفیل سرعت نمایش داده شده است. زمانی که اختلاف نتایج به دست آمده به ازای تعداد المان‌های مختلف شبکه ناچیز شد، افزودن تعداد المان‌های شبکه‌بندی الزامی ندارد. لذا با توجه به نتایج حاصل و به‌منظور کاهش هزینه و زمان محاسبات، شبکه‌بندی مدل D مناسب‌ترین شبکه‌بندی به‌عنوان مدل منتخب برای حل عددی، مورد استفاده قرار گرفته است.

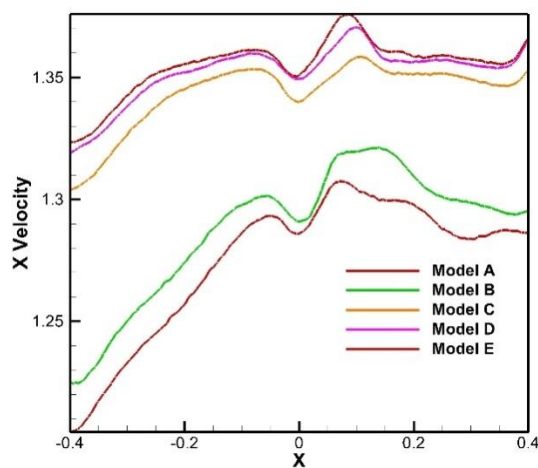
جدول ۱- تعداد شبکه‌بندی در طول ۸۰۰ میلی‌متر و قطر ۱۰۰ میلی‌متر

تعداد المان	شبکه‌بندی
244,000	Model A
318,000	Model B
765,000	Model C
878,000	Model D
969,000	Model E

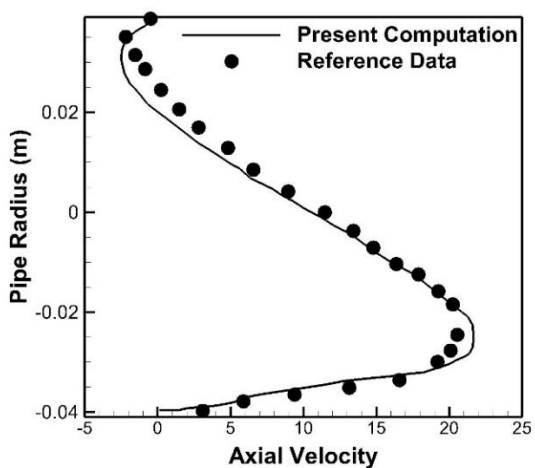
¹Green-Gauss Cell-Based



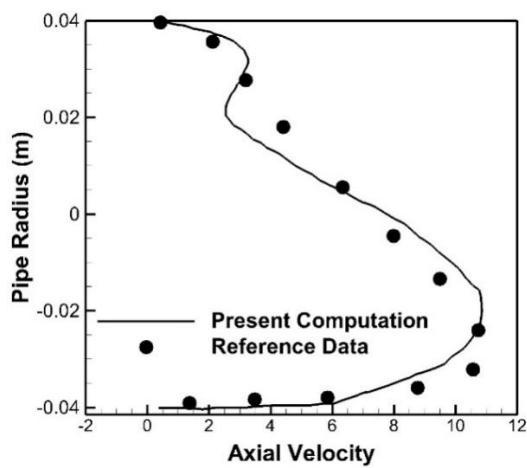
شکل ۴- پروفیل سرعت درازای تغییرات تعداد المان شبکه محاسباتی



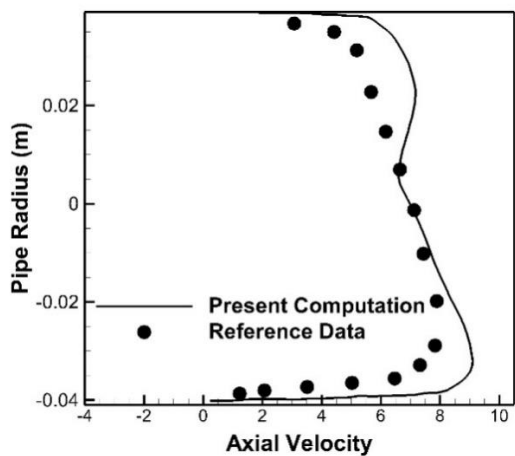
شکل ۳- تغییرات مولفه افقی سرعت در راستای لوله تحت تأثیر تغییرات تعداد المان‌های شبکه محاسباتی



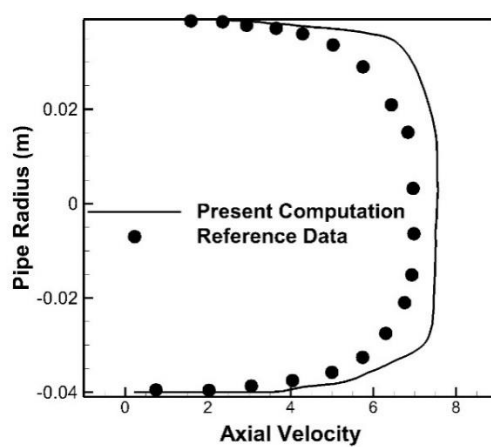
(الف)



(ب)



(ج)



(د)

شکل ۵- مقایسه پروفیل سرعت در راستای جریان حاصل از پژوهش حاضر با نتایج مرجع در فاصله (الف) بسیار اندک در حدود ۵ میلی‌متر از تیغه شیر، (ب) سه برابر قطر لوله، (ج) شش برابر قطر لوله، (د) جریان توسعه یافته، از شیر کشویی ۷۵ درصد بسته [۱۴].

۶- صحت سنجی نتایج حل عددی

به منظور صحت گذاری روش حل عددی، نتایج حاصل با شبیه سازی های عددی جریان درون یک مجرا که توسط پالو کارمن و همکارانش انجام گردید، مقایسه شده است [۱۴]. هدف از این کار کسب اطمینان از مدل استفاده شده در پژوهش حاضر می باشد. مدل مورد بررسی یک مجرا به قطر ۸۰ میلی متر و طول ۱۵۰۰ میلی متر می باشد که در فاصله ۳۰۰ میلی متر از ورودی مدل یک شیر کشویی با ۷۵ درصد بسته از قسمت فوقانی تعبیه شده است. شکل ۵ مقایسه پروفیل سرعت در راستای جریان حاصل از پژوهش حاضر با نتایج مرجع در چهار موقعیت را نشان می دهد. در حالت (الف) پروفیل سرعت در جریان پایین دست و در موقعیتی که با تیغه شیر فاصله بسیار اندک در حدود ۵ میلی متر داشته است، نمایش داده شده است. در قسمت فوقانی پشت شیر برگشت جریان و در قسمت پایین تیغه شیر افزایش سرعت نسبت به جریان بالادست به وجود آمده است. در شکل (ب) تغییرات به شکل (الف) نزدیک بوده با این تفاوت که دیگر جریان برگشتی وجود ندارد. در شکل (ج) پروفیل سرعت با فاصله گرفتن از شیر، جریان تمایل به حالت کاملاً توسعه یافته داشته است. در شکل (د) جریان توسعه یافته و پروفیل سرعت تشکیل شده است. مقایسه نتایج، نشان دهنده دقت نسبتاً خوب شبیه سازی حاضر با داده های مرجع در تمامی موقعیت ها می باشد.

۷- نتایج

در این بخش نتایج حاصل از این پژوهش ارائه خواهد شد. مسئله مورد نظر، شبیه سازی جریان سیال تحت تأثیر میدان الکترومغناطیسی به صورت سه بعدی برای لوله ای به قطر ۱۰۰ میلی متر و به طول ۸۰۰ میلی متر بوده و تأثیر شدت میدان الکترومغناطیسی بر تغییرات پارامترهای مهم جریان سیال بررسی شده است. میدان الکترومغناطیسی یکنواخت به طور عمده در جهت شعاع لوله تنها در بخش شامل مگنت ها استفاده شده است. فرض بر این است که دیواره جریان سنج عایق الکتریکی است. الکترودهای تعبیه شده در میدان الکترومغناطیسی وظیفه اندازه گیری شدت محلی میدان مغناطیسی را بر عهده دارند. در ابتدا باید مقدار چگالی شار مغناطیسی بررسی شود. سپس مقدار تغییرات شدت مغناطیسی و در بخش پایانی مقدار سرعت تجزیه و تحلیل می شود. در جدول شماره (۲) خواص فیزیکی سیال نمایش داده شده است.

۷-۱- مکانیزم دبی سنج الکترومغناطیسی

در بخش اندازه گیری از دو مگنت در دیواره بالا و پایین لوله و در فاصله ۱۰۰ میلی متری برای ایجاد میدان الکترومغناطیسی استفاده شده است.

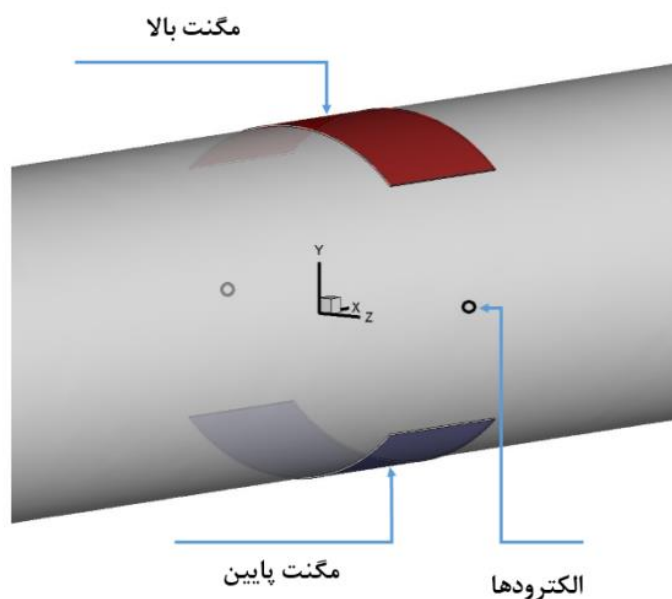
جدول ۲- خواص فیزیکی سیال

نوع سیال	چگالی (kg/m^3)	لزجت (kg/ms)	رسانایی الکتریکی ($1/\text{ohm-m}$)	نفوذپذیری مغناطیسی (h/m)
آب	۹۹۸/۲	۰/۰۰۱۰۰۳	۱۰۰۰۰۰۰	$1/26 \times 10^{-6}$

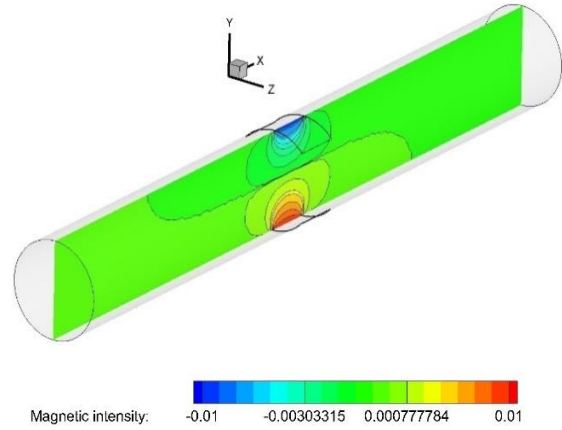
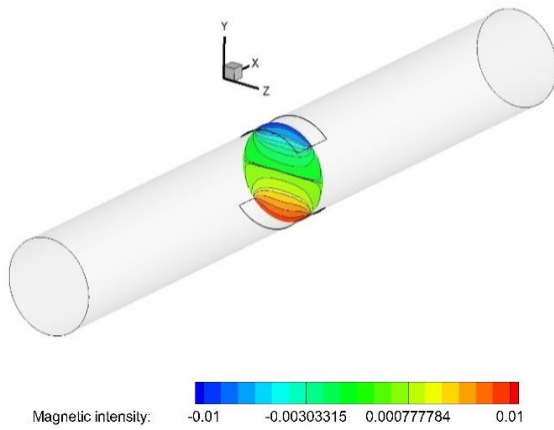
الکترودها در موقعیتی عمود بر مگنت‌ها در نظر گرفته شده و همان طور که مشخص است وظیفه آن‌ها دریافت شدت القای میدان مغناطیسی تغییر یافته در محل، حاصل از عبور درون سیال در حال حرکت می‌باشد. در شکل شماره (۶) محل قرارگیری مگنت‌ها و الکترودها نمایش داده شده است.

۷-۲- تعیین مقدار چگالی شار میدان مغناطیسی

در این بخش مقدار چگالی شار مغناطیسی در جریان سیال، با استفاده از شبیه‌سازی سه‌بعدی در مقطع میانی لوله (فاصله ۴۰۰ میلی‌متری از مرز ورودی) مورد مطالعه قرار گرفته است. در شکل (۷) خطوط هم‌تراز شدت القای مغناطیسی محلی روی صفحه تقارن عرضی (در راستای محور z) و به ازای شدت میدان مغناطیسی ۰/۰۱ برای مگنت‌ها نشان داده شده است. شکل (۸) خطوط هم‌تراز شدت القای مغناطیسی محلی روی صفحه تقارن طولی (در راستای محور x) به ازای شدت میدان مغناطیسی ۰/۰۱ روی مگنت‌ها را نشان می‌دهد. برای ایجاد شار مغناطیسی نیاز به مگنت‌های منفی و مثبت است. در شکل‌های (۷) و (۸) طیف آبی‌رنگ قطب شمالی (منفی) و طیف قرمز رنگ قطب جنوبی (مثبت) بوده که در آن‌ها شدت میدان مغناطیسی در آن ناحیه بیشتر از سایر نقاط است. مگنت‌ها (آهن‌رباهای الکتریکی) برای ایجاد میدان مغناطیسی به جریان الکتریکی خارجی نیاز دارد که در این پژوهش از جریان مستقیم (DC) با مقدار ثابت ۱۲ ولت در شبیه‌سازی استفاده شده است. به دلیل مکانیزم جریان‌سنج مغناطیسی بایستی آب یا سیال عبوری تا اندازه‌ای خواص الکتریکی و رسانایی داشته باشد. لازم به ذکر است آب سیال حاوی رسانای الکتریکی بوده مقدار رسانایی آن بیشتر از ۵ میکرو زیمنس بر سانتی‌متر می‌باشد. به منظور مشخص کردن میزانی از شدت میدان مغناطیسی اعمالی روی مگنت‌ها به بررسی تأثیر القای مغناطیسی پرداخته شده است. در این راستا مقادیر متفاوتی برای شدت میدان مغناطیسی در محل مگنت‌ها در نظر گرفته شده که شامل ۰/۰۱، ۰/۰۳، ۰/۰۵ (کولن × متر) / (نیوتن × ثانیه) (تسلا) بوده و شبیه‌سازی جریان سیال تحت تأثیر میدان الکترومغناطیسی انجام شده است.

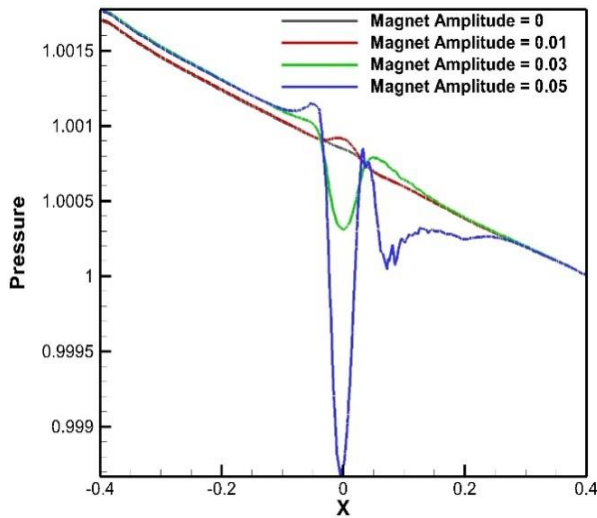


شکل ۶- مکانیزم دبی‌سنج الکترومغناطیسی

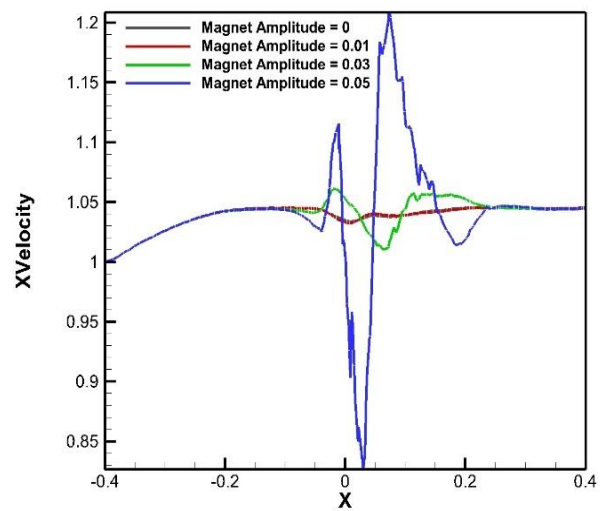


شکل ۸- خطوط هم‌تراز شدت القای مغناطیسی محلی روی صفحه تقارن طولی

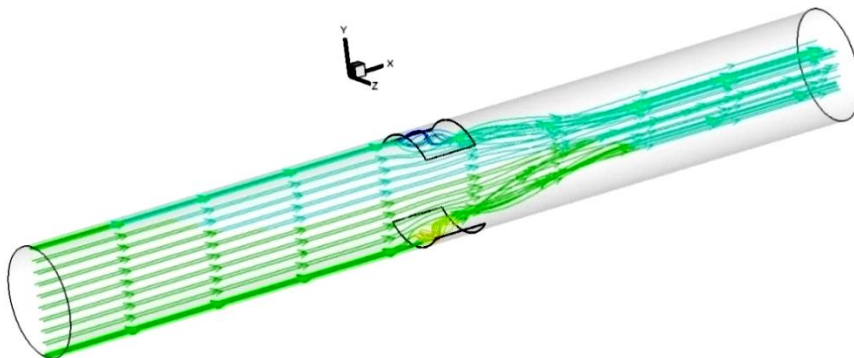
شکل ۷- خطوط هم‌تراز شدت القای مغناطیسی محلی روی صفحه تقارن عرضی



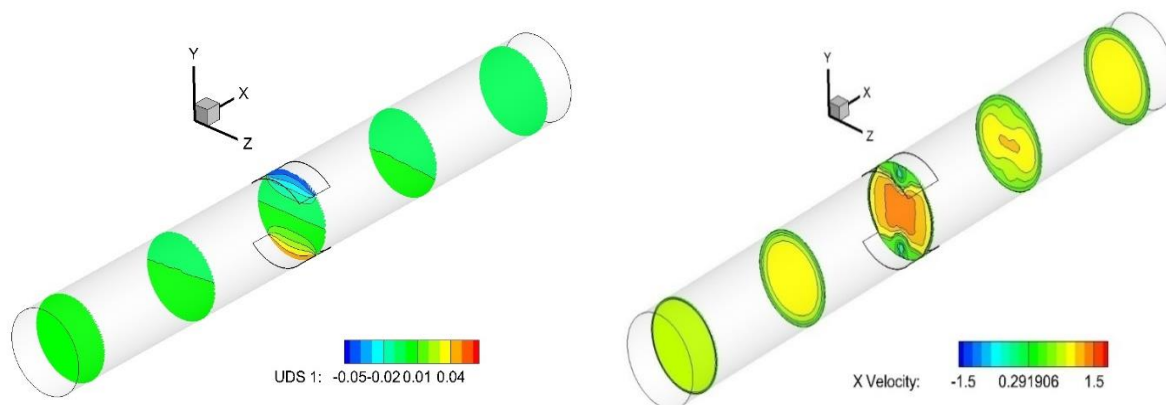
شکل ۱۰- تأثیر شدت مغناطیسی مگنت‌ها بر تغییرات فشار در راستای لوله



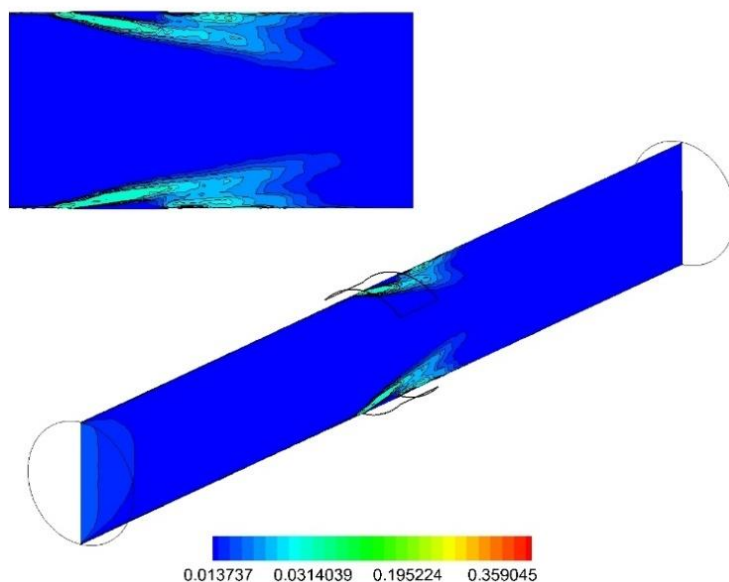
شکل ۹- تأثیر شدت مغناطیسی مگنت‌ها بر تغییران مولفه افقی سرعت در راستای لوله



شکل ۱۱- تأثیر وجود میدان مغناطیسی با شدت بالا بر ساختار جریان درون مجرا



شکل ۱۲- خطوط هم‌تراز مولفه افقی سرعت (راست) و شدت میدان مغناطیسی (چپ) در مقاطع مختلف لوله در راستای محور جریان به ازای شدت میدان مغناطیسی ۰/۰۳ روی مگنت‌ها



شکل ۱۳- خطوط هم‌تراز انرژی جنبشی آشفتگی به ازای شدت میدان مغناطیسی ۰/۰۳

در شکل (۹) و (۱۰) تأثیر شدت میدان مغناطیسی مگنت‌ها بر تغییرات مولفه افقی سرعت و فشار در راستای لوله نشان داده شده است. ابتدا برای مشخص شدن مقدار شدت مناسب، مگنت‌ها در شدت ۰/۰۱ تحلیل شده و نتایج نشان دادند این مقدار شدت با حالتی که مگنت‌ها بدون جریان الکتریکی هستند، تفاوت چندانی ندارد. در ادامه مقدار شدت به ۰/۰۳ افزایش یافت که مشاهدات نشان از تغییر بیشتر پارامترها نسبت به مقدار ۰/۰۱ داشته است. این مقدار در ساختار جریان تأثیر چندانی نداشته و قابل قبول می‌باشد. سپس شدت به مقدار ۰/۰۵ تسلا افزایش داده شد و نتایج حاصل در شکل (۹) و (۱۰) نشان از تغییر و نوسان زیاد به ازای این مقدار دارد به نحوی که در ساختار جریان تغییرات زیادی ایجاد کرده و باعث تغییر مسیر جریان در راستای لوله می‌شود.

همان‌طور که در شکل (۱۱) مشخص است ساختار خطوط جریان، قبل از محل اعمال میدان الکترومغناطیسی (با شدت ۰/۰۵ روی مگنت‌ها) بدون تغییر مسیر خود را ادامه می‌دهد. با نزدیک شدن به محل تحت تأثیر در شکل (۱۲)، خطوط هم‌تراز مولفه افقی سرعت در مقاطع مختلف لوله در راستای محور جریان به ازای شدت میدان مغناطیسی ۰/۰۳ به نمایش گذاشته شده است. در ابتدای مسیر، جریان تحت تأثیر اصطکاک بین سیال و جدار داخلی لوله قرار داشته و تا مرکز مدل این پارامترها تأثیرگذار می‌باشند؛ اما با نزدیک شدن به محدوده میدان مغناطیسی (محل مگنت‌ها) تحت تأثیر شدت میدان نیز قرار گرفته و سرعت در نواحی نزدیک به محور مرکزی لوله افزایش یافته و در نزدیکی محل قرارگیری مگنت‌ها کمترین سرعت دیده می‌شود. در مقاطع پایین‌تر از محل قرارگیری مگنت‌ها این پدیده نیز همچنان ادامه داشته اما میزان تغییرات کمتر و ضعیف‌تر می‌باشد. شکل (۱۳)، خطوط هم‌تراز انرژی جنبشی آشفتگی به ازای شدت القای مغناطیسی ۰/۰۳ را نشان می‌دهد. در محل قرارگیری مگنت‌ها، تغییرات اندازه حرکت مشاهده شده که این عامل تغییرات در اثر نیروی بویانسی (لورنتس) می‌باشد.

۷-۳- مدل‌سازی دبی‌سنج الکترومغناطیسی با بهره‌گیری از الگوی ترکیبی مبتنی بر داده‌های شبیه‌سازی

به‌منظور توسعه مدل جایگزین دبی‌سنج الکترومغناطیسی از روش تخمین سرعت متوسط ورودی مبتنی بر اطلاعات داده‌های شبیه‌سازی عددی بهره گرفته شده است. بدین منظور برای تعدادی اختلاف فشار مشخص، شدت میدان در موقعیت حسگر به دست آورده شده سپس با استفاده از این داده‌ها تابعی برای تغییرات فشار ورودی برحسب شدت میدان مغناطیسی در محل حسگر محاسبه شده است. بر اساس همین الگو مقدار سرعت متوسط در ورودی و دبی جریان نیز برای این مقادیر شدت میدان مغناطیسی محاسبه شده‌اند. درنهایت با استفاده از این توابع، به ازای تغییر فشار در ورودی که معادل آن تغییر در شدت میدان مغناطیسی در محل حسگرها می‌باشد، مقادیر سرعت متوسط در ورودی و دبی جریان قابل‌محاسبه خواهد بود. در جدول شماره (۳) تغییرات شدت مغناطیسی پیشنهادی به ازای تغییرات فشار نمایش داده شده است.

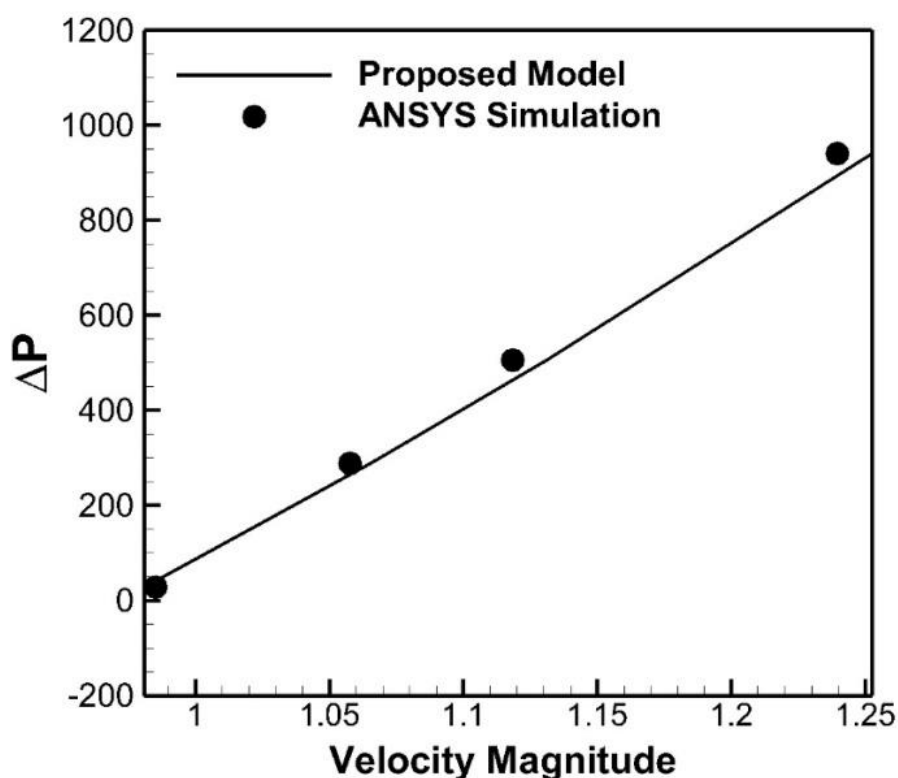
جدول ۳- تغییرات فشار ورودی به ازای تغییرات شدت میدان مغناطیسی در محل حسگرها

شدت مغناطیسی	فشار (پاسکال)
۰/۰۰۰۰۱۸۹۳۰۹۰۰	۲۸
۰/۰۰۰۰۱۸۹۳۱۵۰۰	۲۸۸
۰/۰۰۰۰۱۸۹۳۲۰۰۰	۵۰۶
۰/۰۰۰۰۱۸۹۳۳۰۰۰	۹۴۱

به منظور بررسی صحت نتایج، به ازای مقادیر اختلاف فشار جدید و با بهره‌گیری از نرم‌افزار، مسئله شبیه‌سازی شده تا مقدار سرعت متوسط با این روش نیز محاسبه شود. در انتها، درصد اختلاف سرعت متوسط حاصل شده از روش پیشنهادی با سرعت متوسط ورودی از شبیه‌سازی مرحله دوم با یکدیگر مقایسه شده‌اند. میزان این خطا در جدول شماره (۴) نمایش داده شده است. مقایسه سرعت متوسط از داده حاصل شده از مدل پیشنهادی با شبیه‌سازی صورت گرفته با نرم‌افزار در شکل (۱۴) نشان داده شده است. همان‌طور که در هر شکل مشخص است دقت نتایج حاصل قابل قبول بوده و نشان‌دهنده قابلیت مدل ارائه شده می‌باشد.

جدول ۴- مقایسه داده‌های حاصل از مدل و شبیه‌سازی مستقیم

داده‌های حاصل از مدل			سرعت متوسط حاصل از شبیه‌سازی با نرم‌افزار	درصد خطای سرعت متوسط محاسبه شده با مدل و حاصل از نرم‌افزار
شدت مغناطیسی پیشنهادی	مقدار فشار	سرعت متوسط محاسبه شده با مدل		
۰/۰۰۰۰۱۸۹۳۰۹۰۰	۲۸	۰/۹۹	۰/۹۸	۰/۴۴
۰/۰۰۰۰۱۸۹۳۱۵۰۰	۲۸۸	۱/۰۶	۱/۰۷	-۰/۷
۰/۰۰۰۰۱۸۹۳۲۰۰۰	۵۰۶	۱/۱۲	۱/۱۳	-۱/۱۳
۰/۰۰۰۰۱۸۹۳۳۰۰۰	۹۴۱	۱/۲۴	۱/۲۵	-۱/۰۴



شکل ۱۴- مقایسه تغییرات سرعت متوسط برحسب اختلاف فشار درون مجرا حاصل از مدل پیشنهادی و شبیه‌سازی با نرم‌افزار

۸- نتیجه‌گیری

در این پژوهش به مطالعه و شبیه‌سازی سه‌بعدی مدل دبی‌سنج الکترومغناطیسی در داخل لوله با بهره‌گیری از الگوی ترکیبی مبتنی بر داده‌های شبیه‌سازی عددی و روش‌های برازش داده برای لوله‌ای به قطر ۱۰۰ میلی‌متر و طول ۸۰۰ میلی‌متر استفاده شده است. در ابتدای پژوهش می‌بایست میزان مقاومت سیم‌پیچ تعیین شود به همین منظور ابتدا شبیه‌سازی جریان تحت اثر شدت الکترومغناطیسی در مقدار ۰/۰۱، ۰/۰۳ و ۰/۰۵ (تسلا) مورد بررسی قرار گرفته شد تا مناسب‌ترین شدت به دست آید. نتایج حاصل شده نشان می‌دهند تا شدت ۰/۰۳، میدان مغناطیسی در ساختار جریان تأثیر چندانی نداشته اما با افزایش مقدار شدت به میزان ۰/۰۵ تأثیرات قابل توجه بوده تا حدی که باعث ایجاد تغییر فراوان در ساختار شده و در نزدیکی مگنت‌ها باعث برگشت جریان نیز می‌شود. در نتیجه مناسب‌ترین شدت مغناطیسی برای این مدل در محدوده ۰/۰۳ مدنظر قرار گرفته شد. به‌منظور توسعه مدل جایگزین دبی‌سنج الکترومغناطیسی از روش تخمین سرعت متوسط ورودی مبتنی بر اطلاعات داده‌های شبیه‌سازی عددی بهره گرفته شده است. در انتها، درصد اختلاف سرعت متوسط حاصل شده از روش پیشنهادی با سرعت متوسط ورودی از شبیه‌سازی با یکدیگر مقایسه شده‌اند. دقت نتایج حاصل شده مدل پیشنهادی بسیار بالا بوده و مشخصاً نشان‌دهنده قابلیت این مدل می‌باشد.

مراجع

- [1] Nashed, M., "Solution of the Electromagnetic Flowmeter Equation", IOPScience Journal of Physics D: Applied Physics, Vol. 5, No. 5, (1972).
- [2] O'Sullivan, V.T., and Wyatt, D.G., "Computation of Electromagnetic Flowmeter Characteristics from Magnetic Field Data. III. Rectilinear Weight Functions", IOPScience Journal of Physics D: Applied Physics, Vol. 16, No. 8, pp. 1461-1476, (1988).
- [3] Luntta, E., and Halttunen, J., "The Effect of Velocity Profile on Electromagnetic Flow Measurement", Sensors and Actuators, Vol. 16(4), pp. 335-344, (1989).
- [4] Lim, K.W., and Chung, M.K., "Numerical Investigation on the Installation Effects of Electromagnetic Flowmeter Downstream of a 90° Elbow-laminar Flow Case", Flow Measurement and Instrumentation, Vol. 10, No. 3, pp. 167-174, (1999).
- [5] Horner, B., "A Novel Profile-insensitive Multi-electrode Induction Flowmeter Suitable for Industrial Use", Measurement, Vol. 24(3), pp. 131-137, (1998).
- [6] Michalski, A., Starzyński, J., and Wincenciak, A., "3-D Approach to Designing the Excitation Coil of an Electromagnetic Flowmeter", Journal of Transactions on Instrumentation and Measurement, IEEE, Vol. 51, No. 4, pp. 833-839, (2002).
- [7] Xu, L.J., Li, X.M., Dong, F., Wang, Y., and Xu, L.A., "Optimum Estimation of the Mean

Flow Velocity For the Multi-electrode Inductance Flowmeter", IOPScience Journal of Measurement Science and Technology, Vol. 12, No. 8, pp. 1139-1146, (2001).

[8] Xu, L., Han, J., and Wang, Y., "Design of Electrode Array of Inductance Flowmeter", IEEE Sensors Journal, Vol. 5, No. 5, pp. 929-933, (2005).

[9] Thess, A., Votyakov, E.V., and Kolesnikov, Y., "Lorentz Force Velocimetry", APS Journal of Physical Review Letters, Vol. 96, No. 16, pp. 1-4, (2006).

[10] Karamifard, M., Kazeminejad, M., and Maghsoodloo, A., "Design and Simulation of Electromagnetic Flow Meter for Circular Pipe Type", International Journal of Mathematical, Computational, Physical, Electrical and Computer Engineering, Vol. 5, No. 2, pp. 416-421, (2011).

[11] Lu, B., Xu, L., and Zhang, X., "Three-dimensional MHD Simulations of the Electromagnetic Flowmeter for Laminar and Turbulent Flows", Flow Measurement and Instrumentation, Vol. 33, pp. 239-243, (2013).

[12] Cao, Z., Song, W., Peng, Z., and Xu, L., "Coil Shape Optimization of the Electromagnetic Flowmeter for Different Flow Profiles", Flow Measurement and Instrumentation, Vol. 40, pp. 256-262, (2014).

[13] Martim, A.L.S.S, Dalfré Filho, J.G., De Lucca, Y.F.L., and Borri Genovez, A.I., "Electromagnetic Flowmeter Evaluation in Real Facilities: Velocity Profiles and Error Analysis", Flow Measurement and Instrumentation, Vol. 66, pp. 44-49, (2019).

[14] Palau, C.V., Do Bomfim, G.V., De Azevedo, B.M., and Peralta, I.B., "Numerical Study of Upstream Disturbances on the Performance of Electromagnetic and Ultrasonic Flowmeters", Scientia Agricola, Vol. 77, No. 4, pp. 1-8, (2020).

[15] Ge, L., Chen, J., Tian, G., Ahmed, J., and Huang, Q., "Study on a New Electromagnetic Flowmeter Based on Three-value Trapezoidal Wave Excitation", Flow Measurement and Instrumentation, Vol. 78, Article Number. 101882 (2021).

[16] Shercliff, J.A, "*The Theory of Electromagnetic Flow-measurement*", Cambridge Science Classics, Fellow of Trinity College and Lecturer in the Department of Engineering University of Cambridge, Cambridge University Press, pp. 143, (1962).

فهرست نمادهای انگلیسی

V	سرعت جریان سیال، m/s
p	فشار استاتیک جریان سیال، Pa
ρ	چگالی سیال مرجع، kg/m ³
J	چگالی جریان الکتریکی
k	نرخ انرژی جنبشی

ε	نرخ اضمحلال آشفستگی
U	القای ولتاژ
D	فاصله الکترودها، m
K	ضریب ثابت
E	شدت میدان الکتریکی
C_1 و C_2	ضرایب ثابت
ν	لزجت سینماتیکی
k	ثابت ون کارمن
G_k	ترم تولید انرژی ناشی از گرادیان‌های سرعت متوسط جریان
G_b	ترم تولید انرژی ناشی از بویانسی
u_i	سرعت متوسط ورودی سیال m/s
J	چگالی جریان الکتریکی

Abstract

Electromagnetic flowmeters are high-precision devices that can be used to measure fluid flow in engineering systems, including municipal water supply networks. In this research, electromagnetic flowmeter modeling has been used which is a hybrid model based on numerical simulation results of turbulent flow and data estimation method for a pipe with a diameter of 100mm and a length of 800mm. The numerical model is built using three-dimensional simulation framework by creating a magnetic field in the center of the geometry and measuring the volume flow rate using Faraday law and Maxwell equations. In fact, the physics of the problem is such that to measure the flow rate of a fluid, a magnetic field was created in the center of the geometry where the electromagnetic inductors are located. By moving the fluid that has electrical conductivity, the intensity of electromagnetic induction was obtained at that point and the amount of velocity and flow rate was calculated using these data. For this purpose, current simulation under the effect of electromagnetic intensity was performed for the values of 0.01, 0.03 and 0.05 (Tesla) to obtain the most appropriate intensity. The results show that up to an intensity of 0.03, the magnetic field has little effect on the structure of the flow field. In order to develop an alternative model of electromagnetic flowmeter, the method of estimating the inlet average velocity based on information from numerical simulation data has been used. First, for a certain number of pressures (pressure differences), the magnetic field intensity in the position of the sensors was obtained then using these values, the inlet average velocity using direct numerical simulation was calculated. A new magnetic intensity different from the values used was obtained by data mining method. In order to ensure the accuracy of the results, the obtained data were compared with the calculated values of the software.